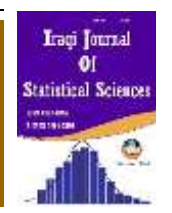


المجلة العراقية للعلوم الإحصائية



http://stats.uomosul.edu.iq

لوحة السيطرة بيتا لمراقبة النسب مع التطبيق

اسيل قاسم عبد الكريم 🧓 و خالدة احمد محمد الحمداني 🧓

قسم الاحصاء والمعلوماتية ، كلية علوم الحاسوب والرياضيات ، جامعة الموصل ، الموصل ، العراق

تم استلامه في 10 شباط 2020 تم القبول في 11 اذار 2021 متاح على الإنترنت في 1 حزيران 2021

الكلمات الدالة:

توزيع بيتا،سيطرة بيتا

اسيل قاسم عبد الكريم aseel.csp155@student.uomosul. edu.iq

تم في هذا البحث باستخدام لوحة بيتا لمراقبة بيانات الكسر (وهي إحدى لوحات الصفات النوعية) تعرض لوحة بيتا حدود السيطرة لها بناء على التوزيع الاحتمالي بيتا وتم تطبيق هذه اللوحة على مجموعة بيانات خاصة بنسب الفول السوداني الملوث بالمواد السامة ل34 دفعة بوزن 120 رطلاً ومن ثم مقارنتها مع لوحة شيوارت التقليدية لوحة (p) ومن ثم يتم اجراء دراسة الحساسية لمقارنة كلتا اللوحتين في حالتين : تحت السيطرة (in control) وخارج نطاق السيطرة, (out of control) وباستخدام عدة قيم لمتوسط النسب وبأحجام عينات مختلفة وبتم التقييم بالاعتماد على أحد المعايير التي تقيس كفاءة اللوحة ألا وهو معدل طول التشغيل (average run length) لكلتا الحالتين وبكون معدل التشغيل في الحالة الأولى دالة للخطأ من النوع الاول وفي الحالة الثانية يكون دالة للخطأ من النوع الثاني لمقارنة اللوحات ولكشف الانحراف في العملية. وقد أكد تحليل الحساسية باستخدام عدة قيم لمعدل الكسر (النسب) الاداء المتفوق للوحة بيتا مقارنة بلوحة p مما نتج عن التقريب المقترح قيمة معدل طول التشغيل ARLo في حالة السيطرة أكبر بقليل ، وان قيمة معدل طول التشغيل في حالة خارج السيطرة ARL1 كان أصغر بكثير.

DOI: 10.33899/IOJOSS.2021.168379, @Authors, 2021, College of Computer Science & Mathematics, University of Mosul, Mosul This is an open access article under the CC BY 4.0 license (http://creativecommons.org/licenses/by/4.0/).

1 - مقدمة Introduction

تؤدي لوحات السيطرة النوعية دوراً مهما في عملية المراقبة الاحصائية ، إن عمليات السيطرة الإحصائية (Statistical Process Control (SPC)) عادة ماتستخدم في مراقبة واكتشاف التحولات في عمليات الإنتاج ، وتعد لوحات السيطرة للصفات (Attribte) أدوات مهمة موجودة في عمليات السيطرة الإحصائية (SPC) لمراقبة العمليات باستخدام البيانات المتقطعة(discrete data) . وكانت لوجتا p و p أكثر شيوعًا لرصد الوحدات غير المطابقة ، والتي طورها Shewhart في عام 1924. ثم طورت لتكون أكثر حساسية للكشف عن الانحرافات في العملية الانتاجية . يتم حساب تقديرات المتوسط والتباين للبيانات بافتراض ان التوزيع الاحتمالي لها هو توزيع ثنائي الحدين وبمعلمتي n و p لعدد الوحدات غير المطابقة ، ويتم حساب حدود السيطرة بناءً على التقريب للتوزيع الطبيعي (Normal distribution approximation) للبيانات ان المتغيرات من النوع الكسرية (Fraction type) هي مشاهدات مُعَبَّر عنها في الفترة [0·1] . وفي هذه البحث يقع الكسر ضمن الفترة [01] التي تمثل: (1) نسبة مئوية - النسبة بين رقمين من النوع المتقطع (فمثلا ، عدد الأجزاء المعيبة في دفعة إنتاج ما) ، و (2) النسبة - النسبة بين رقمين مستمرين (مثلا حجم الكحول في النبيذ) .وهناك بعض القواعد التي تتعامل مع افتراض التماثل والتقريب للتوزيع الطبيعي حيث في سنة (1989) أقترح كل من (Schader و Schader) أن التقريب الطبيعي لتوزيع ذي الحدين يكون مناسباً اذا تحقق الشرطان الآتيان :

- $np(1-p) \ge 9(i)$
- $0 عندما <math>np \ge 5$ (ii)

وبالمثل في (2003) وصف كل من (Fleiss, Levin و Paik) أن التقريب يكون مناسباً عندما تكون قيمة p تقع في هذه الفترة (0.7 p $\leq 0.3 \leq p$ و عندما تكون n كبيرة للغاية بالنسبة ل (n p ≥5) و n (1-p) بينما يبقى التباين ثابتاً (np(1-p) . في حين أشار (Montgomery) في (2005) إلى أن التقريب الطبيعي لتوزيع ذي الحدين يكون مناسباً عندما:

 $np \ge 10$ (i)

 $p (0.1 \le p \le 0.9)$ (ii)

وفي الكثير من الدراسات ، تُستخدم لوحة p عندما تكون قيم المعلمة p صغيرة (الخ ... ; 0.01 ; 0.05 ; 0.01 ; 0.1). في هذه الحالات ، يكون التوزيع ذو الحدين منحرفًا تمامًا، ويكون التقريب للتوزيع الطبيعي غيرمناسب ؛ لأنه يسمح بقيم سالبة أو أكبر من واحد . وفي عام (1991) اقترح Queensberry لوحة Qذات الحدين (Binomial Q Chart) لمراقبة البيانات الكسرية غير المطابقة باستخدام التحويل غير الخطي لحدود السيطرة ، وأظهر أنه يقترب من التوزيع الطبيعي أقرب إلى ذات الحدين . اما في (1996) فقد قدّم (Heiman) تعديلاً لحدود السيطرة في لوحة p لأحجام العينات الكبيرة sam-ple) مشيرًا إلى أنه في هذه الحالة ، تكون حدود السيطرة ضيقة ، وبالتالي يزيد من معدل الإنذار الخاطئ (false alarm). كما اقترح كل من(Rayan) و Rayan في (1997) تعديلا لحدود السيطرة للوحة nP لتطابق التقريب الطبيعي (Normal approximation) عندما (p < 0.03) . بينما أقترح (Chen) في (1998) تعديلا على حدود السيطرة للوحة P وقارنها بلوحة P التقليدية ولوحة Q ذات الحدين باستخدام معدل الإنذار الخاطئ . اما في (2008) فقد قام كل من (Sim و Lim) بتكييف لوحة السيطرة للصفات لرصد البيانات ذات القيمة الصفرية واستخدما الفاصل الزمني (Blyth-Still) مع 3σ لحساب حدود السيطرة على افتراض أن هذه البيانات تتبع التوزيع ذا الحدين وبواسون . وقارن (Bourke) في عام (2008) الأداء لأربع لوحات سيطرة من خلال مراقبة تحولات الجزء غير المطابق في العمليات الصناعية. ومن ثم لاحظ أوجه التشابه في أداء لوحة السيطرة التركيبي(Synthetic control chart) ولوحة np على مدى فترة زمنية طويلة من عملية السيطرة. ولأغراض مماثلة قارن (Bouguila و Bouguila) في (2011) الأداء لاحدى عشرة لوحة سيطرة لرصد العيوب مع توزيع بواسون . عندما يكون توزيع البيانات في العملية الصناعية غير مثماتل يزداد معدل الانذار الخاطئ مع عدم التناسق بسبب التناقض بين شكل توزيع البيانات والتوزيع الطبيعي لها . واقترح (Nelson) في هذه الحالات افتراض أن توزيع البيانات معروف وانشاء لوحة سيطرة بحدود دقيقة يوفّر معدلات إندار خاطئة مرغوبة . لقد تم في هذا البحث بتطبيق لوحة بيتا للسيطرة على متغيرات من نوع الكسر في العمليات الصناعية . حيث تفترض لوحة السيطرة هذه أنه يمكن تقريب بيانات الكسربة عن طريق توزيع بيتا وبناء حدود سيطرة جديدة بناءً على هذا التوزيع . تم تطبيق لوحة بيتا على بيانات نسبة الفول السوداني الملوث على كل من لوحتى بيتا للسيطرة ولوحة شيوارت (Shewhart (p)) التقليدية لأغراض المقارنة باستخدام البرامجيتين Shewhart (p)

2- هدف البحث

تم استخدام لوحة السيطرة بيتا (Beta control chart) لمراقبة العمليات التي تقيس متغيرات من النوع الكسرية. وتعتمد لوحة السيطرة هذه على توزيع احتمالية بيتا لتقدير حدود السيطرة للبيانات الكسرية التي لها قيم مقيدة (Restricted) في الفترة الزمنية [0,1]. ومن ثم تطبيق اللوحة على بيانات ومقارنتها مع لوحة P ثم حساب تحليل الحساسية لعدة قيم من الكسور اي النسب.

Beta Control Chart ليتا للسيطرة – 3

يستخدم توزيع بيتا لنمذجة المتغيرات المستمرة المحددة ضمن الفترة الزمنية [1 ، 0] ، مثل المعدلات ،الكسور والنسب و كذلك توزيع بيتا ، يكون محددا أيضًا عندما يقتصر متغير قيد الاهتمام y على المدة الزمنية المستمرة [a,b] حيث إن a وط قيم معلومة a b في هذه الحالات دون فقدان العمومية يمكن نمذجة a على المدة الزمنية المستمرة [a,b] حيث إن a متغير عشوائي يتوزع بيتا . وصف Johnson واخرين في (1995) ، وإن المتغير العشوائي a يتوزع بيتا بمعلمتي شكل و بدالة كثافة احتمالية لها تكون على النحو الآتي :

$$f(y;\theta_1,\theta_2) = \frac{\Gamma(\theta_1 + \theta_2)}{\Gamma(\theta_1)\Gamma(\theta_2)} y^{\theta_1 - 1} (1 - y)^{\theta_2 - 1} \qquad \qquad 0 < y < 1$$

حيث إن θ_2 , $\theta_1 > 0$ هي معلمات الشكل للتوزيع و $\Gamma\left(\Theta\right)$ هي دالة كاما. وإن متوسط توزيع بيتا و تباينه هما على التوالى:

$$E(y) = \frac{\theta_1}{\theta_1 + \theta_2} \tag{1}$$

$$Var(y) = \frac{\theta_1 \, \theta_2}{(\theta_1 + \theta_2)^2 \, (\theta_1 + \theta_2 + 1)} \tag{2}$$

وان دالة التوزيع التراكمي ((CDF)) لتوزيع بيتا

$$F(y; \theta_1, \theta_2) = \int_0^y f(u; \theta_1, \theta_2) du = \frac{B(y; \theta_1, \theta_2)}{B(\theta_1, \theta_2)}$$

و (quantile function) هي دالة بيتا غير الكاملة. حيث أن الدالة الكمية (θ_1 , θ_2) هي دالة بيتا غير الكاملة. حيث أن الدالة الكمية (θ_1 , θ_2) هي دالة بيتا غير الكاملة. حيث أن الدالة الكمية (θ_1 , θ_2) هي دالة بيتا غير الكاملة. θ_2 (θ_1 , θ_2)

(Nadarajah gupta 2004)

أن توزيع بيتا متعدد الاستخدامات للغاية ، وله مجموعة متنوعة من التطبيقات (Johnson وآخرون 2005) في حين أن (SantOAnna, ten Caten) افترض في سنة (2012) أن المتغيرات من نوع الكسرية والنسبة تتوزع توزيع بيتا ، وأن لوحة بيتا تستوعب بشكل طبيعي عدم تماثل نوع البيانات الكسرية والنسبة ، وتكون

حدود السيطرة تقتصر على الفترة [1, 0] إن هذه الخصائص للوحة بيتا مفيدة مقارنة باللوحات المعتادة التي تفترض التقريب الطبيعي ، مثل لوحتي p و np ، المعروفة التي ترصد الوحدات غير المطابقة . يتم تحديد حدي السيطرة االادني (LCL) والأعلى (UCL) للوحة بيتا للسيطرة بواسطة

$$LCL = \bar{p} - W_1^2 \sqrt{S^2(\bar{p})}$$

$$; \qquad UCL = \bar{p} + W_2^2 \sqrt{S^2(\bar{p})}$$

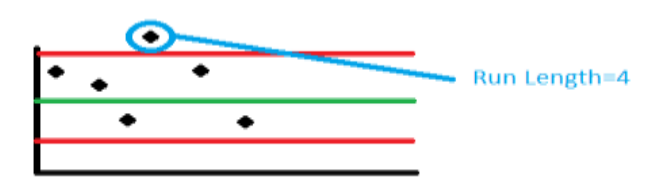
Control) يمثلان المتوسط وتباين المتوسط المتغير الكسري ، وان W_2 , W_1 هما ثوابت مجدولة التي تحدد عرض منطقة السيطرة (rejoin لغرض بناء حدود السيطرة للوحة بيتا ، بالاعتماد على قيم (p_0) على الرغم من أن لوحة بيتا المقترحة يقدم أساسًا نظريًا صارمًا ، إلا أن هذا يعد نقطة سلبية في عدم تضمين هذه اللوحة في حزم البرامج الاحصائية المتوافرة حاليا . تعرض لوحة Beta المقترحة التطبيق العملي نفسه والبساطة التشغيلية كما في لوحة والتي اقترحها Shewhart حيث لا قيود على حجم العينة و اسلوب أخذ العينات. على سبيل المثال ، يمكن جمع أحجام العينات p_0 0 و متكون تحليلات الكشف عن التحولات في العملية بالكفاءة نفسها عندما يكون حجم العينات من 50 أو 100 أو 200 لمراقبة العمليات طويلة الأجل ، يجب أن يتم إعادة تقييم حدود السيطرة بشكل دوري ، حتى لو لم يكن هناك دليل على وجود اختلافات ويسمح هذا الإجراء الديناميكي للوحة السيطرة بتوفير مراقبة فعالة واكتشاف مصادر التباين. (Bayer, eals , 2018)

Sensitivity Analysis - 4

هناك العديد من الأساليب لقياس كفاءة أداء لوحات السيطرة ، و يعد معدل طول التشغيل (Average Run Length (ARL) المقياس الأكثر استخداماً في عملية المراقبة الاحصائية لتقييم أداء حساسية لوحات السيطرة للكشف عن الانحرفات في مخرجات العملية . ويعد العالم (Pag) اول من استخدم مفهوم معدل طول التشغيل في عام (1954) وعرفه بأنه متوسط عدد العينات المفحوصة ، والتي تكون تحت السيطرة لحين حدوث مايشير الى أن العملية اصبحت خارج حدود السيطرة. (2005 , Montgomery , 2005)

Using Average Run Length to determine the performance of a control chart استخدام معدل طول التشغيل لتقيم أداء لوجة السيطرة - 5

في مجال اختبارالفرضيات الإحصائية يمكننا قياس الخطأ من النوع الاول α والخطأ من النوع الثاني β . ولا يمكن استخدام هذه الطريقة للوحات السيطرة β لأن لوحات السيطرة هي سلسلة من العينات بحسب اختبارات فرضية العينة وبدلا من الخطأ التقليدي α و β المستخدم باختبار الفرضيات ، عادة مايستخدم متوسط طول التشغيل (ARL) لقياس أداء لوحات السيطرة . في الشكل (1-2) تم أخد أربع عينات قبل أن تتجاوز نقطة ما حد السيطرة الأعلى ، طول التشغيل هو متغيّر عشواتي يمكن أن يأخد قيماً صحيحة فقط ، ونحن بحاجة الى استخدام القيمة المتوقعة أو متوسط طول التشغيل لقياس الأداء . (ARL) متوسط طول التشغيل هو القيمة المتوقعة من طول التشغيل ، والذي يمثل العدد المتوقع للمجموعات الفرعية حتى تشير للوحة للخروج عن السيطرة أولاً . يتم الان حساب معدل طول التشغيل في الحالتين ، وهما :



الشكل (1-2) تحديد طول التشغيل للوحة

أولاً: حساب طول التشغيل في حالة العملية تحت السيطرة (Calculate Average Run Length In - Control)

متوسط طول التشغيل ARLo

إن متوسط طول التشغيل (ARL₀) هو العدد المتوقع للعينات حتى تشير لوحة السيطرة الى مؤشر خروج اللوحة عن السيطرة مع العلم أنها تحت السيطرة . و يمكننا ايضا القول بأنه قد تم ارسال إندار . خاطئ (false alarm) ، ولتعريف متوسط طول التشغيل (ARL₀) رياضياً فإنه يفسرعلى أنه دالة للخطأ من النوع الأول (α) ويعتبر معيارا لكلفة القرارات الخاطئة ويمثل كالاتى:-

حيث إن P_0 تمثل متوسط المتغيّر Y في حالة استقرار العملية وعدم حدوث تغيير فيها

ولاشتقاق متوسط طول التشغيل ARL₀ طول التشغيل احتمالية الاشارة خارج السيطرة

2
$$(1-\alpha)\alpha$$

$$(1-\alpha)^2 \alpha$$

4

:

$$K$$
 $\alpha^{K-1} (1-\alpha)$

وبهذا يكون معدل طول التشغيل

$$ARL_0 = E(RL_0) = \sum_{k=1}^{\infty} K (1-\alpha)^{K-1} \alpha$$

 $ARL_0 = \frac{1}{\alpha}$ (3)

 $\alpha = 0.0027$ فإذا لم يحدث تغييرفي العملية فاحتمال وقوع نقطة خارج حدي السيطرة فان

وبذلك فإن متوسط طول التشغيل يكون $ARL_0 = 1 / 0.0027 = 370.4$ وهذا يعني أنه في حالة استقرار العملية يتوقع حدوث مؤشر خارج السيطرة بعد فحص 370.4

ثانيا : حساب طول التشغيل للعملية خارج السيطرة (Calculate Average Run Length Out - Control)

ان متوسط طول التشغيل يمثل العدد المتوقع للعينات من دون إشارة الى وجود مؤشر يشير الى خروج اللوحة عن السيطرة مع العلم أنها خارج حدود السيطرة وضمن دالة من النوع الثاني . اي افتراض ان تغيرا قد حدث في مخرجات العملية عن مركزها بعدد من الانحرفات الخطأ من النوع الثاني, وهو يقيس معدل عدد المواد المنتجة الرديئة وبمثل كالاتي:-

 $\beta = \Pr\left[\text{ Nation in the part in the part is also in the part i$

$$\beta = 1 - P [LCL < y < UCL \mid P = P_1]$$

 $1-\beta=\Pr$ [مع العلم أن اللوحة خارج حدود السيطرة | تظهر لوحة شيوارت اشارات لعينة ما

وحيث إن $P_1 = P_0 + \lambda$ وان λ تمثل التغيّر الناتج في العملية وهو دالة للتباين و P_1 تمثل متوسط المتغير P_1 في العملية الخارجة عن السيطرة . ولاشتقاق متوسط طول التشغيل ARL_1

طول التشغيل احتمالية الاشارة داخل السيطرة

1
$$\beta$$

2 $\beta (1 - \beta)$
3 $\beta^2 (1 - \beta)$
..... :
 $K (1 - \beta) \beta^{K-1}$

وبهذا فإن ARL₁ يحسب كما يأتي

$$ARL_{1} = E(RL_{1}) = \sum_{k=1}^{\infty} K \beta^{K-1} (1-\beta)$$

$$ARL_{1} = \frac{1}{(1-\beta)}$$
(4)

وبهذا فان معدل طول التشغيل هو عدد النقاط المرسومة (المجموعة الجزئية) من بداية تغيير العملية وحتى حدوث اشارة خارجة عن السيطرة أو لمقارنة أداء لوحات سيطرة مختلفة من حيث قدرتها على كشف التغيرات . وبهذا نستطيع القول إن معدل طول التشغيل يستخدم لعرض اداء لوحة معينة للسيطرة أو لمقارنة اداء عدة لوحات للسيطرة . (2005 , Montgomery على الرغم من أن لوحة بيتا المقترحة يقدم أساسًا نظريًا صارمًا ، إلا أن هذا يعد نقطة سلبية في عدم تضمين هذه اللوحة في حزم البرامج الإحصائية

6 - الجانب التطبيقي

ولغرض إجراء تقييم أداء لوحتي P وبيتا تم استخدام مجموعة من البيانات الحقيقية لدراسة الغول السوداني الملوث بالمواد السامة في 34 دفعة من 120 رطلا المتغير المرصود هو نسبة الغول السوداني الملوث كما هو موضح في الجدول (1) (السدحان ، 2010)

الجدول (1) نسب الفول السوداني الملوث

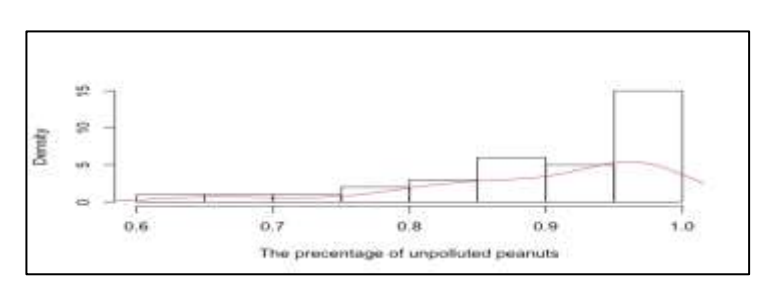
البيانات	ت	البيانات	ت
0.933	18	0.971	1
0.858	19	0.979	2
0.987	20	0.982	3
0.958	21	0.971	4
0.909	22	0.957	5
0.859	23	0.961	6
0.863	24	0.956	7
0.811	25	0.972	8
0.877	26	0.889	9
0.798	27	0.961	10
0.855	28	0.982	11
0.788	29	0.975	12
0.821	30	0.942	13
0.830	31	0.932	14
0.718	32	0.908	15
0.642	33	0.970	16
0.658	34	0.985	17

ولغرض دراسة تحليل هذه البيانات قمنا اولا بعمل توصيف لهذه البيانات كما هو موضّح في الجدول(2) (تم احتساب التباين بالصيغة العامة له)

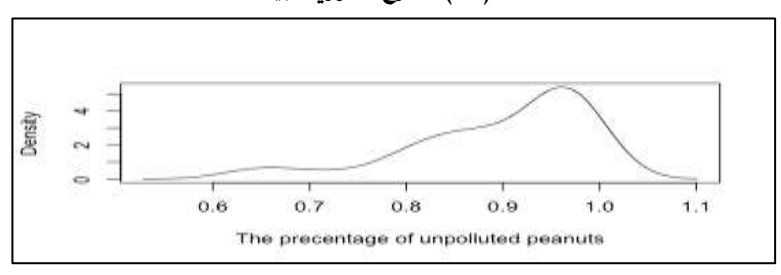
الجدول (2) الملخص الاحصائي لمتغير البيانات

		-	, ,	
التباين	المتوسط	القيمة العظمى	القيمة الصغرى	المتغير
0.00875	0.895824	0.987	0.642	Y

وبعد ذلك قمنا برسم كل من المدرج التكراري ودالة الكثافة الاحتمالية للمتغير قيد الدراسة (نسبة الفول السوداني الملوث) وكما هو موضح في الشكلين (1) (2) .



الشكل (1) المدرج التكراري للبيانات



الشكل (2) دالة الكثافة الاحتمالية للبيانات

ولتحديد التوزيع الاحتمالي للبيانات قمناباختبار الفرضية الآتية:

البيانات تتوزع توزيع بيتا : H₁ : البيانات لا تتوزع توزيع بيتا

تم إجراء كل من الاختبارات التالية اختبار Kolmogorov _ Smirnov ، اختبار حسن المطابقة Chi _ Squared وعن طريق مقارنة قيم المختبر الاحصائي مع القيم الحرجة عند مستوى معنوية $\alpha = 0.01$, 0.05 تبين أن قيم المختبر الاحصائي اصغر من القيم الحرجة اي انها تقع ضمن منطقة القبول ، وكما هو موضح في الجدول (3) مما يؤيد ان البيانات تتوزع توزيع بيتا .

الجدول (3) اختبارات حسن المطابقة

		Kolmogorov	- Smirnoff	test	
				34 0.11314 0.73469 4	عجم العيث الاستاا P عمية عرب
0.01	0.02	0.05	0.1	0.2	α
0.27279	0.25429	0.22743	0.20472	0.17909	القيمة الحرجة (الجنولية)
NO	NO	NO	NO	NO	الرفطن
		Chi -	Squared		
				0.1817 0.91315 1	درجة العربة الاحمداءة قيمة P الرهمة
0.01	0.02	0.05	0.1	0.2	а
9.2103	7.824	6,9915	4.6052	3.2189	القيمة الحرجة
NO	NO	NO	NO	NO	الوقعلن
	- C	Anderson	Darling	77. ()	
			- Was dishard	0,79677 4	درجة الحرية الإعمادة الرئية
	0.02	0.05	0.1	0.2	α
0.01					
3.9074	3.2892	2.5018	1.9286	1.3749	القهمة الحرجبة

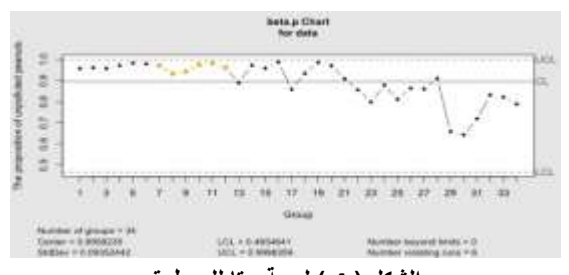
7 - تحليلات المقارنة لوحتي بيتا وشيوارت (p) على نسب الفول السوداني الملوث

تم حساب حدود السيطرة عن طريق الرسم البياني لاحتمالية الاندارات الكاذبة (false alarm) في عملية المراقبة بناء على التوزيع الطبيعي للوحة (p) لشيوارت وبناء على توزيع بيتا للوحة بيتا و الجدول (4) يبين حدود السيطرة المحسوبة باستخدام تقديرات العينة لكلتا اللوحتين.

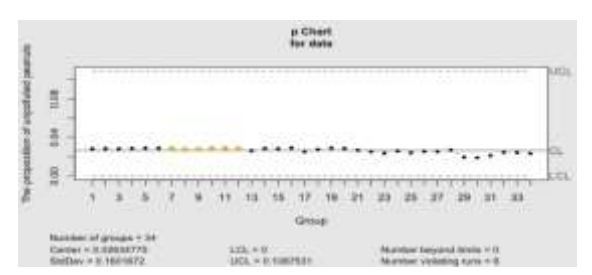
الجدول (4) حدود السيطرة للوحتي P وبيتا

	UCL	LCL	T	
Shewhart	0.1087531	0	0.02364775	
Beta	0.9998359	0.4654641	0.8958235	

ومن ثم تم رسم كل من لوحتى P وبيتا ، لغرض مقارنتها كما في الشكلين المتتالين (3) و (4) على التوالي وفق البيانات المستخدمة.



الشكل (4) لوحة بيتا للسيطرة



الشكل (3) لوحة P شيوارت

من خلال ملاحظة الشكلين (3) و (4) أظهرت لوحة بيتا التغيرات الحاصلة في العملية بشكل أكثر وضوحا من لوحة P حيث إن النقاط قبل العينة 23 كانت فوق خط الهدف ومابعد العينة 23 ظهرت معظمها تحت خط الهدف ، فهذا يدل على السلوك غير الطبيعي لحجم السموم في المنتج اما لوحة p فلم تتمكن من توضيح السلوك الغير طبيعي لعملية السيطرة .

Evaluation performance between shewart and beta chart وشيوات - 8

نقوم الآن بإجراء دراسة لمقارنة لوحة شيوارت وبيتا في في حالتين هما تحت السيطرة (in – control) وخارج نطاق السيطرة (out of control) بحساب متوسط طول التشغيل لقيم مختلفة من \bar{q} و n وثم إجراء تحليل الحساسية باستخدام البرامجية الحسابية \bar{q} ، بالنسبة لحالة تحت السيطرة نقوم بحساب

المعادلة (3)، وبالنسبة للعملية خارج السيطرة يتم حساب ARL_1 من المعادلة (4) وكما أشرنا سابقا فإن ARL_0 هو دالة للخطأ من النوع الأول في حين ARL_1 هودالة للخطأ من النوع الثاني.

$\mathbf{P_0} = 0$	0.001 n =	$2000 \qquad \lambda = 0.01$	و	$P_0 = 0.01$	n = 250	$\lambda = 0.0$	لقيم 1	تي شيوارت وبيتا ا	[AR لكل من لوح	قیم کل من L	ا) مقارنة لـ	بدول (5	الج
	<u>N</u> p	2000 LCL	UCL	α	β	ARL	<u>n</u> p	250 LCL	UCL		α	β	ARL
Shewhart	0.001	-0.00112	0.031	0.0032		312	0.001	-0.004996	0.0189	8 0.0	042		238
	0.002	-0.00096	0.00 4996		0.9	10	0.02	-0.006562	0.0469	6		0.88	8
	0.003	-0.0067	0.006671		0.03	1	0.03	-0.00266	0.0626	6		0.707	3
	0.005	0.0002687	0.0097313		0.21	1	0.05	0.0038	0.0913	5		0.120	1
	0.01	0.003325	0.016675		0.02	1	0.01	-0.00887	0.0288	7		0.1	1
Beta	0.001	0.00002	0.0049	0.0027		370	0.01	0.00028	0.043	0.0	027		730
	0.002	0.000014	0.0071		0.003	1	0. 02	0.00231	0.063			0.860	7
	0.003	0.0004	0.009		0.004	1	0. 03	0.0059	0.079	1		0.560	2
	0.005	0.0013	0.0123		0.006	1	0.05	0.0157	0.107			0.072	1
	0.01	0.004	0.0194		0.001	1	0. 01	0.0482	0.173			0.001	
	n = 75	$\lambda = 0.002 = 0.1$	P ₀ و	$P_0 = 0.1$	n = 350	$\lambda = 0.02$	وبيتا للقيم	ن لوحتي شيوارت و	من ARL لكل مر	ارنة لقيم كل	ل (6) مق	الجدوا	
	n p	350 LCL	UCL	α	β	ARL	<u>п</u> р	7 <u>5</u> LCL	UCL	α	β	A	RL
Shewhar	t 0.1	-0.3563	0.25213	0.0032		333	0.1	-0.00392	0.20392	0.003		3	33
	0.1	2 0.10329	0.13671		0.95	20	0.12	0.00743	0.2325		0.97	3	33
	0.1	5 0.09274	0.20725		0.50	2	0.15	0.02631	02736		0.92]	13
	0.2	0.13586	0.2641		0.015	1	0.2	0.06144	0.33856		0.72		4
	0.3	0.22652	0.37348		0.21	1	0.3	0.14126	0.45874		0.2		1
Beta	0.1	0.054	0.156	0.0027		370	0.1	0	0.261	0.027		3	70
	0.1	2 0.0712	0.172		0.966	31	0.12	0.0250	0.293		0.971	3	34
	0.1	5 0.092	0.217		0.905	11	0.15	0.375	0.324		0.905	1	11
		0.072	0.217		0.700	11	0.13	0.575	0.521		0.703	_	

0.3

0.1312

0.519

0.104

0.104

0.3

0.225

0.382

من خلال ملاحظة الجدولين (5) و (6) نجد أن حساسية لوحات السيطرة التي تم فحصها عندما (P=0.001) وحجم العينة 2000 لاحظنا أن 2000 (2000) وحجم العينة 2000 المحلمات : 2000 (2000) المحلم المحلمة المحلمة (2000) المحلم الانذار الخاطئ (2000) و 2000) و 2000 (2000) مقارنة بلوحة شيوارت وبالمثل يحدث لقيمة المعلمة (2000) المحلم (2000) مقارنة بلوحة شيوارت وبالمثل يحدث لقيمة المعلمة (2000) المحلم (2000) المحلم

9 - تعريف حدود الشكل المغلق Definition of closed form limits

 $np = 1\,,\,2\,,\,\dots$ محساب حدودالسيطرة الدنياوالعليا لقيم النسب الصغيرة الآتية ($P = 0.002\,,\,0.02\,$, $0.00\,$, $0.000\,$

الجدول (7) حدود السيطرة للبيانات بواسطة لوحتى شيوارت وبيتا

			Shewart		Beta	Beta		
P	n	np	LCL	UCL	LCL	UCL		
0.002	500	1	-0.00399	0.00799	0.000002	0.00757		
0.02	50	1	-0.03939	0.07939	0.000023	0.07941		
0.05	20	1	-0.09620	0.1962	0.000062	0.4191		
0.2	5	1	-0.3366	0.736656	0.000073	0.6541		
0.002	1000	2	-0.00223	0.006238	0.000032	0.00541		
0.02	100	2	-0.022	0.062	0.000351	0.05291		
0.05	40	2	-0.0533	0.1533	0.002251	0.2234		
0.2	10	2	-0.1794	0.5799	0.0345	0.3124		
0.002	1500	3	-0.00146	0.01238	0.000081	0.004520		
0.02	150	3	-0.0142	0.0542	0.000621	0.04532		
0.05	60	3	-0.0344	0.01344	0.004541	0.17271		
0.2	15	3	-0.1098	0.5098	0.008125	0.4672		
0.002	2000	4	-0.000009	0.00499	0.000215	0.00406		
0.02	200	4	-0.0096	0.0496	0.00216	0.0414		
0.05	80	4	-0.0231	0.1231	0.00651	0.1621		
0.2	20	4	-0.06832	0.4683	0.02173	0.3113		
0.002	2500	5	-0.0006	0.00468	0.000257	0.00375		
0.02	250	5	-0.00656	0.04656	0.00257	0.0376		
0.05	100	5	-0.01538	0.11538	0.0773	0.2765		
0.2	25	5	-0.04	0.44	0.074	0.3560		
0.002	3000	6	-0.000447	0.00444	0.000285	0.00357		
0.02	300	6	-0.00424	0.04428	0.00287	0.0274		
0.05	120	6	-0.00968	0.10966	0.00495	0.0397		
0.2	30	6	-0.0191	0.4191	0.0213	0.2571		
0.002	3500	7	-0.000026	0.004265	0.00312	0.00315		
0.02	350	7	-0.00245	0.04245	0.00327	0.03314		
0.05	140	7	-0.00525	0.10525	0.0215	0.2218		
0.2	35	7	-0.002837	0.40283	0.0326	0.0412		
0.002	4000	8	-0.0000119	0.004119	0.000359	0.002935		
0.02	400	8	-0.001	0.041	0.00359	0.02825		
0.05	160	8	-0.00169	0.010169	0.02341	0.1129		
0.2	40	8	0.010263	0.3897	0.003567	0.0071		
0.002	4500	9	0.000003	0.00398	0.000384	0.00396		
0.02	450	9	0.00002	0.0397	0.00385	0.03261		
0.05	180	9	0.00126	0.09873	0.02487	0.2063		
0.2	45	9	0.021145	0.37888	0.03101	0.0361		
0.002	5000	10	0.0000105	0.00389	0.000408	0.00322		
0.02	500	10	0.001217	0.03878	0.00409	0.03215		
0.05	200	10	0.003766	0.09623	0.01667	0.00886		
0.2	50	10	0.0303	0.3697	0.0329	0.03166		

10 - الاستنتاجات

عندما تم تطبيق البيانات الخاصة لنسب الفول السوداني الملوث على كل من لوحتي بيتا وشيوارت (P) تبين أن لوحة بيتا تودي نتائج أكثر دقة من لوحة شيوارت . أكد تحليل الحساسية باستخدام العديد من القيم الكسرية الأداء المتميز للوحة بيتا مقارنة بلوحة شيوارت (P) ونتج عن التقريب المقترح ARL أكبر قليلاً ، وأن ARL أصغر بكثير.

11-Reverence

- 1-Al-Sadhan, Abdullah Ibrahim, "Peanuts are among the most famous foods that are contaminated with aflatoxins." The International Agency for Research on Cancer puts aflatoxins in the list of primary causes of tumors, Riyadh Magazine, June 15, 2010, Issue 15331
- 2 Aebtarm, S., & Bouguila, N. (2011). An empirical evaluation of attribute control charts for monitoring defects. Expert Systems with Applications, 38, 7869–7880
- **3 -** Bayer, Fabio, Tondalob, Catia and Mulle, Fernanda, (2018) "Beta regression control chart for monitoring fractions and proportions", Computers & Industrial Engineering 2018 1 23 April.
- **4** Bourke, P. D. (2008). Performance comparisons for the Synthetic control chart for detecting increases in fraction nonconforming. Journal of Quality Technology, Milwaukee, 40(4), 461–475.
- **5** Chen, G. (1998). An improved p Chart through simple adjustments. Journal of Quality Technology, Milwaukee, 30(2), 142–151
- **6 -** Fleiss, J. L., Levin, B., & Paik, M. C. (2003). Statistical methods for rates and proportions (3rd ed.). New Jersey: John Wiley & Sons, p. 760.
- 7 Gupta, A. K., Nadarajah, S., 2004. Handbook of Beta Distribution and Its Applications. CRC Press LLC.
- **8** Heimann, P. A. (1996). Attribute control charts with large sample sizes. Journal of Quality Technology, Milwaukee, 28(4), 451–459
- **9-** Lin, S. N., Chou, C. Y., Wang, S. L., & Liu, H. R. (2012). Economic design of autoregressive moving average control chart using genetic algorithms. Expert Systems with Applications, 39, 1793–1798.
- **10** Montgomery, D. C. (2005). Introduction to Statistical Quality Control (5th ed.). New York: John Wiley & Sons. 732p.
- **11 -** Nelson, P. R. (1979). Control charts for Weibull processes with standards given. IEEE Transactions on Reliability, Knoxville, 28(3), 383–387.
- **12** Quesenberry, C. P. (1991). SPC Q charts for a Binomial parameter p: short and long runs. Journal of Quality Technology, Milwaukee, 23(3), 239–246
- 13 Schader, M., & Schmid, F. (1989). Two rules of thumb for the approximation of the binomial distribution by normal distribution. The American Statistician, Alexandria, 43(1), 23–24
- **14** Sim, C. H., & Lim, M. H. (2008). Attribute charts for zero-inflated process, communications in statistics simulations and computation. Hamilton, 37(7), 1440–1452.
- 15 Schwertman, N. C., & Ryan, T. P. (1997). Optimal limits for attributes control charts. Journal of Quality Technology, Milwaukee, 29(1), 86

Beta Control Panel To Monitor Proportions With The App

Aseel K. Abed Al-Kareem Khalida A. Mohamed College of Computer Science and Mathematics, University of Mosul, Mosul, Iraq

Abstract: In this paper we use a beta Chart to monitor fracture data. The beta Chart displays its control limits based on the beta probability distribution. This Chart was applied to a data set of contaminated peanut proportions. With toxic substances for 34 batches weighing 120 pounds and then comparing it with the traditional Shewart Chart (p-Chart), then a sensitivity study is performed to compare both Charts in two cases: under control and out of control. Using several values of average ratios and with different sample sizes, the evaluation is based on one of the criteria that measures the efficiency of the Chart, which is the Average Run Length (ARL) for both cases, and the operating average in the first case is a function of the type one error is for comparing Charts and in order to discover the shift in the proof the first type and in the second case it is a function of the type two error The second cases. Sensitivity analysis using several values of the fracture rate confirmed the superior performance of the beta Chart compared to the p Chart, resulting in the proposed approximation the value of the average operating length of ARLo in the control condition slightly greater and that the value of the average operating length in an out sidesce nario ARL₁ controls much smaller

Keyword: beta control chart, Beta distribution